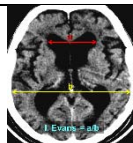
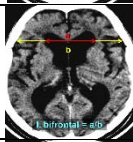
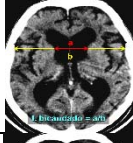
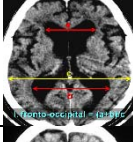


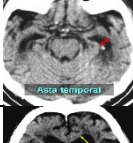


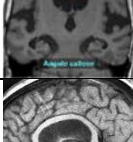
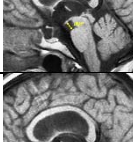

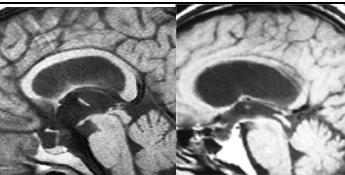
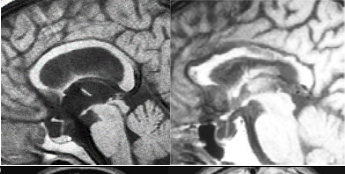
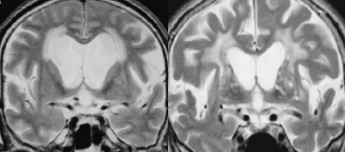
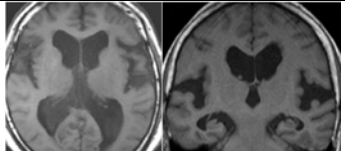
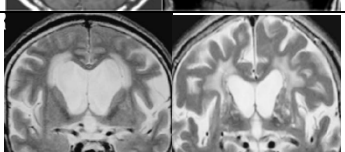
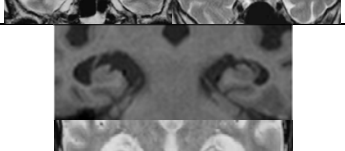


ANEXO II: DATOS RADIOLÓGICOS

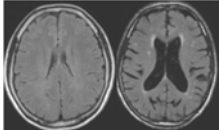
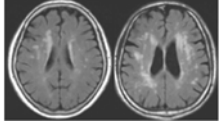
1. Ventriculometría

| | | |
|----------------------------------|---|--------------|
| Índice de Evans |  | _____ |
| Índice bifrontal |  | _____ |
| Índice bicaudado |  | _____ |
| Índice fronto-occipital |  | _____ |
| Índice de la celda media |  | _____ |
| Diámetro del tercer ventrículo |  | _____ mm |
| Diámetro del asta temporal |  | _____ mm |
| Radio del asta frontal |  | _____ mm |
| Ángulo septal |  | _____ grados |
| Ángulo calloso |  | _____ grados |
| Distancia mamilo-pontina (DMP) |  | _____ mm |
| Distancia mamilo-comisural (DMC) |  | _____ mm |

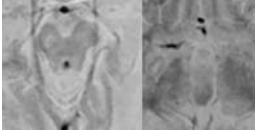
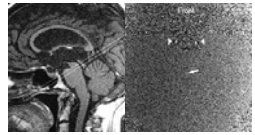
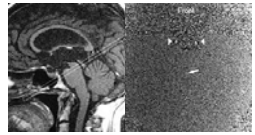
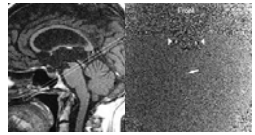
2. Características subjetivas

| | | |
|---|--|---|
| Tamaño del cuerpo caloso |  | Engrosado <input type="checkbox"/> Normal <input type="checkbox"/> Adelgazado <input type="checkbox"/> |
| Intensidad de señal del cuerpo caloso |  | Aumentada <input type="checkbox"/> Normal <input type="checkbox"/> Disminuida <input type="checkbox"/> |
| Surcos de la convexidad |  | Dilatados <input type="checkbox"/> Normales <input type="checkbox"/> Obliterados <input type="checkbox"/> |
| Cisuras de Silvio |  | Dilatadas <input type="checkbox"/> Normales <input type="checkbox"/> Obliteradas <input type="checkbox"/> |
| Patrón DESH <i>(Disproportionately Enlarged Subarachnoid Space Hydrocephalus)</i> |  | Presente <input type="checkbox"/> Ausente <input type="checkbox"/> |
| Fisuras perihipocampales |  | Dilatadas <input type="checkbox"/> Normales <input type="checkbox"/> Obliteradas <input type="checkbox"/> |

3. Hiperintensidades de la sustancia blanca: Escala de Fazekas

| | | |
|--|---|--|
| Hiperintensidades periventriculares |  | Ausencia <input type="checkbox"/> Grado 0 Lineal <input type="checkbox"/> Grado 1 Halo regular <input type="checkbox"/> Grado 2 Irregulares, con extensión subcortical <input type="checkbox"/> Grado 3 |
| Hiperintensidades subcorticales |  | Ausencia <input type="checkbox"/> Grado 0 Focos punteados <input type="checkbox"/> Grado 1 Inicio de confluencia <input type="checkbox"/> Grado 2 Áreas confluentes extensas <input type="checkbox"/> Grado 3 |

4. Hidrodinámica licuoral

| | | |
|-------------------------------------|---|--|
| <p>Vacío de señal de LCR</p> |  | <p>Ausente Grado 0 <input type="checkbox"/> Acueducto y zona sup. IV Grado 1 <input type="checkbox"/> Zona post. III - Zona sup. IV Grado 2 <input type="checkbox"/> Zona post III - Zona media IV Grado 3 <input type="checkbox"/> Agujero Monro – Obex Grado 4 <input type="checkbox"/></p> |
| <p>Volumen/latido</p> |  | <p>_____ μl/latido</p> |
| <p>Volumen/minuto</p> |  | <p>_____ ml/min</p> |
| <p>Velocidad media</p> |  | <p>_____ cm/s</p> |